

별날개골풀의 페놀성 성분

도초¹ · 형명명¹ · 안달래¹ · 이은별¹ · 이소연¹ · 김반지¹ · 이재혁² · 박정숙³ · 배종진¹ · 김대근^{1*}

¹우석대학교 약학대학, ²남부대학교 한방제약개발학과, ³남부대학교 대체의학과

Phenolic Constituents from *Juncus diastrophanthus*

Chao Tao¹, Ming Ming Xing¹, Dalrae Ahn¹, Eun Byeol Lee¹, So Yeon Lee¹, Ban Ji Kim¹,
Jae Hyek Lee², Jeong-Suk Park³, Jong Jin Bae¹, and Dae Keun Kim^{1*}

¹College of Pharmacy, Woosuk University, Jeonju 565-701, Korea

²Dept. of Oriental Pharmaceutical Development, Nambu University, Gwangju 506-706, Korea

³Dept. of Alternative Medicine, Nambu University, Gwangju 506-706, Korea

Abstract – Five phenolic compounds were isolated from the whole plants of *Juncus diastrophanthus* (Juncaceae) through repeated column chromatography. Their chemical structures were elucidated as methyl 3,5-di-O-caffeoylelquinate (**1**), luteolin-7-O-β-D-glucopyranoside (**2**), methyl 4,5-di-O-caffeoylelquinate (**3**), quercetin-3-O-β-D-arabinopyranoside (**4**), and methyl 3,4-di-O-caffeoylelquinate (**5**) by spectroscopic techniques. These compounds were isolated for the first time from this plant.

Key words – *Juncus diastrophanthus*, Juncaceae, Phenolic compounds

별날개골풀(*Juncus diastrophanthus* Buchen.)은 골풀과(Juncaceae)에 속하는 다년생 초본으로 근경이 짧고, 원줄기는 편평하며 양가에 좁은 날개가 있고 높이는 20-40 cm까지 자란다. 보통 3개의 잎이 달리며 길이 10-20 cm, 나비 3-5 mm이고, 꽃은 6-7월에 녹색으로 피며 원줄기 끝에 달린다. 삭과는 세모이며 길이 5 mm이고, 종자는 0.6 mm 정도이고 도란형이다.¹⁾ 지금까지의 별날개골풀에 대한 연구는 저자 등이 본 식물로부터 항산화물질로 7종의 화합물을 보고²⁾한 것 외에는 없으나, *Juncus*속 식물에 대한 식물 화학적 성분연구로는 flavonoid³⁻⁵⁾를 비롯하여 coumarin,^{6,7)} terpene,^{3,5,8,9)} stilbene,¹⁰⁾ phenolic acid,^{7,9)} sterol,^{3,5,7)} dihydrodibenzoxepin¹¹⁾ 및 phenanthrene¹²⁻¹⁵⁾ 등이 보고되어 있다. 또한 *Juncus*속 식물의 생리활성 연구는 세포독성이나 항암효능^{11,16,17)}과 항산화 및 간보호 효능,^{5,17)} 항바이러스 및 항미생물 효능^{11,16,17)}과 항염 효능¹⁸⁾ 등이 알려져 있다. 본 연구는 전보의 항산화물질 분리에 이어 식물 화학적 성분연구의 일환으로 별날개골풀 methanol추출물의 ethyl acetate분획을 몇 가지 column chromatography를 실시하여 5종의 화합물을 단리하고 그 구조를 확인하였기에 이를 보고하고자 한다.

재료 및 방법

실험재료 – 본 실험에 사용한 별날개골풀은 2008년 8월에 전북 완주군에서 채취하였으며, 정확히 감정한 후에 음건세절하여 실험에 사용하였으며, 표준품은 우석대학교 약학대학 생약학 연구실에 보관하고 있다(WSU-08-014).

시약 및 기기 – ¹H-NMR 및 ¹³C-NMR spectrum은 Jeol JMN-EX 400 spectrometer(Japan) 기기를 이용하여 확보하였다. 추출 및 분획용 시약, TLC 및 column용 시약 등은 1급 용매를 재증류하여 사용하거나, 특급시약을 사용하였다. Column chromatography용 silica gel은 Kiesel gel 60(Art. 1.07734, 230-400 mesh, Merck)을, molecular sieve column chromatography용 packing material은 Sephadex LH-20 (Pharmacia)을 사용하였다. TLC plate는 Kiesel gel 60 F₂₅₄ precoated plate(Art. 1.07752, Merck)를 사용하였으며, LPLC용 column은 Lobar A(LiChroprep Si 60, Merck) column을 사용하였고, HPLC용 column은 JAI GS-310(JAI Co. Ltd.) column을 사용하였다. 발색시약으로는 10% H₂SO₄ EtOH 용액을 사용하였으며, UV의 검색은 254와 365 nm에서 하였다.

추출 및 분리 – 신선한 별날개골풀을 음건 세절한 다음 건조하여 얻은 시료 720 g을 methanol로 가끔 진탕하면서

*교신저자(E-mail): dkkim@woosuk.ac.kr
(Tel): +82-63-290-1574

5시간씩 50°C에서 3회 온침 추출하였다. 그 추출액을 수육상에서 김압농축하여 methanol 엑스 약 71.2 g을 얻었으며, 이 methanol 엑스에 중류수로 혼탁시키고 상법에 따라 동량의 *n*-hexane(7.9 g), methylene chloride(3.8 g), ethyl acetate(5.9 g) 및 *n*-butanol(10.8 g)의 순으로 용매 분획하여 각각의 분획물을 얻었다. Ethyl acetate 분획을 MeOH를 유출용매로 Sephadex LH-20 column chromatography를 실시한 후 TLC 양상에 따라 6개 분획(E1-E6)으로 나누었다. 이 중 E4(1.4 g)를 CHCl₃-MeOH-H₂O(40:10:1)를 유출용매로 silica gel column을 실시하여 5개 소분획(E41-E45)으로 나누고, 소분획 E41을 Lobar A column(CHCl₃-MeOH-H₂O=30:20:1)으로 다시 8개의 소분획(E411-E418)으로 나누었다. E412와 E418을 JAI GS-310 column을 이용한 HPLC로 정제하여 화합물 **1**(8 mg)과 **2**(6 mg)을 각각 얻었다. E5(0.8 g)를 CHCl₃-MeOH-H₂O(80:15:1)를 유출용매로 silica gel column을 실시하여 5개 소분획(E51-E55)으로 나누고, 소분획 E51을 JAI GS-310 column을 이용한 HPLC로 정제하여 화합물 **3**(32 mg)과 소분획 E53을 HPLC로 정제하여 **4**(7 mg)와 **5**(6 mg)을 각각 얻었다.

Methyl 3,5-di-O-caffeoylequinate (1) – ¹H-NMR (400 MHz, CD₃OD) δ: 7.61, 7.54 (each 1H, d, *J*=15.9 Hz, H-7', 7''), 7.05 (2H, d, *J*=1.8 Hz, H-2', 2''), 6.96 (2H, d, *J*=8.4 Hz, H-5', 5''), 6.78, 6.76 (each 1H, dd, *J*=8.4, 1.8 Hz, H-6', 6''), 6.33, 6.21 (each 1H, d, *J*=15.9 Hz, H-8', 8''), 5.38 (1H, m, H-5), 5.30 (1H, m, H-3), 3.97 (1H, dd, *J*=6.6, 3.3 Hz, H-4), 3.69 (3H, s, OCH₃), 2.31 (1H, dd, *J*=13.2, 3.2 Hz, H-2eq), 2.28 (1H, dd, *J*=13.8, 6.6 Hz, H-6ax), 2.19 (1H, dd, *J*=13.8, 3.9 Hz, H-6eq), 2.15 (1H, dd, *J*=13.2, 8.1 Hz, H-2ax), ¹³C-NMR (100 MHz, CD₃OD) δ: 175.6 (COO), 168.9, 167.9 (C-9', 9''), 149.8, 149.6 (C-4', 4''), 147.5, 147.2 (C-7', 7''), 146.9, 146.8 (C-3', 3''), 127.9, 127.6 (C-1', 1''), 123.1, 123.0 (C-6', 6''), 116.6, 116.5 (C-5', 5''), 115.5, 114.8 (C-8', 8''), 115.1, 114.8 (C-2', 2''), 74.6 (C-1), 72.2 (C-3), 72.0 (C-5), 69.7 (C-4), 53.0 (OCH₃), 36.7 (C-6), 35.6 (C-2).

Luteolin-7-O-β-D-glucopyranoside (2) – ¹H-NMR (400 MHz, DMSO-*d*₆) δ: 13.0 (1H, s, 5-OH), 7.45 (1H, dd, *J*=8.0, 2.4 Hz, H-6'), 7.42 (1H, d, *J*=2.4 Hz, H-2'), 6.89 (1H, d, *J*=8.0 Hz, H-5'), 6.79 (1H, d, *J*=2.4 Hz, H-8), 6.75 (1H, s, H-3), 6.44 (1H, d, *J*=2.4 Hz, H-6), 5.08 (1H, d, *J*=7.2 Hz, H-1''), ¹³C-NMR (100 MHz, DMSO-*d*₆) δ: 181.9 (C-4), 164.5 (C-2), 162.9 (C-7), 161.1 (C-5), 156.9 (C-9), 150.4 (C-4'), 145.9 (C-3'), 121.0 (C-1'), 119.2 (C-6'), 115.9 (C-5'), 113.4 (C-2'), 105.3 (C-10), 103.0 (C-3), 99.9 (C-1''), 99.5 (C-6), 94.7 (C-8), 77.2 (C-3''), 76.4 (C-5''), 73.1 (C-2''), 69.5 (C-4''), 60.6 (C-6'').

Methyl 4,5-di-O-caffeoylequinate (3) – ¹H-NMR (400 MHz, CD₃OD) δ: 7.59, 7.50 (each 1H, d, *J*=15.6 Hz, H-7', 7''), 7.02 (2H, d, *J*=1.8 Hz, H-2', 2''), 6.93 (1H, dd, *J*=8.1, 2.1 Hz, H-6''), 6.92 (1H, dd, *J*=8.4, 1.8 Hz, H-6'), 6.76 (2H, d, *J*=8.1 Hz, H-5', 5''), 6.30, 6.17 (each 1H, d, *J*=15.6 Hz, H-8', 8''), 5.53 (1H, m, H-5), 5.11 (1H, m, H-4), 4.34 (1H, m, H-3), 3.71 (3H, s, OCH₃), 2.32 (1H, dd, *J*=14.4, 3.6 Hz, H-6eq), 2.25 (2H, m, H-2), 2.09 (1H, dd, *J*=14.4, 6.0 Hz, H-6ax), ¹³C-NMR (100MHz, CD₃OD) δ: 175.1(COO), 168.4, 167.8 (C-9', 9''), 149.74, 149.68 (C-4', 4''), 147.60, 147.57 (C-3', 3''), 146.81, 146.78 (C-7', 7''), 127.7, 127.5 (C-1', 1''), 123.14, 123.12 (C-6', 6''), 116.6, 116.5 (C-5', 5''), 115.22, 115.20 (C-2', 2''), 114.8, 114.6 (C-8', 8''), 75.7 (C-1), 74.9 (C-5), 69.0 (C-4), 68.5 (C-3), 53.1 (OCH₃), 41.4 (C-2), 36.8 (C-6).

Quercetin-3-O-β-D-arabinopyranoside (4) – ¹H-NMR (400 MHz, CD₃OD) δ: 7.74 (1H, d, *J*=2.1 Hz, H-2'), 7.56 (1H, dd, *J*=8.8, 2.1 Hz, H-6'), 6.86 (1H, d, *J*=8.8, Hz, H-5'), 6.38 (1H, d, *J*=2.1 Hz, H-8), 6.19 (1H, d, *J*=2.1 Hz, H-6), 5.15 (1H, d, *J*=7.2 Hz, H-1''), ¹³C-NMR (100MHz, CD₃OD) δ: 179.5 (C-4), 166.2 (C-7), 163.0 (C-5), 158.7 (C-9), 158.4 (C-2), 149.9 (C-4'), 145.9 (C-3'), 135.6 (C-3), 123.0 (C-6'), 122.9 (C-1'), 117.4 (C-5), 116.2 (C-2'), 105.6 (C-10), 104.6 (C-1''), 99.9 (C-6), 94.7 (C-8), 74.1 (C-3''), 72.9 (C-2''), 69.1 (C-4''), 66.9 (C-5'').

Methyl 3,4-di-O-caffeoylequinate (5) – ¹H-NMR (400 MHz, CD₃OD) δ: 7.54, 7.53 (each 1H, d, *J*=15.6 Hz, H-7', 7''), 7.02 (2H, m, H-2', 2''), 6.90, 6.87 (each 1H, dd, *J*=8.4, 2.4 Hz, H-5', 5''), 6.75, 6.72 (each 1H, d, *J*=8.4 Hz, H-6', 6''), 6.25, 6.24 (each 1H, d, *J*=15.6 Hz, H-8', 8''), 5.60 (1H, m, H-3), 5.02 (1H, m, H-4), 4.31 (1H, m, H-5), 3.74 (3H, s, OCH₃), 2.32 (1H, dd, *J*=14.8, 4.0 Hz, H-6ax), 2.16 (2H, m, H-2), 2.12 (1H, dd, *J*=14.8, 5.1 Hz, H-6eq), ¹³C-NMR (100MHz, CD₃OD): 176.1 (COO), 168.5, 168.4 (C-9', 9''), 149.7, 149.6 (C-4', 4''), 147.4 (C-7', 7''), 146.8 (C-3', 3''), 127.8, 127.7 (C-1', 1''), 123.2, 123.1 (C-6', 6''), 116.5 (C-5', 5''), 115.2, 115.1 (C-8', 8''), 115.0, 114.9 (C-2', 2''), 75.2 (C-4), 69.8 (C-3, 5), 52.9 (OCH₃), 41.4 (C-2), 36.8 (C-6).

결과 및 고찰

별날개골풀의 methanol 엑스를 *n*-hexane, methylene chloride, ethyl acetate 및 *n*-butanol 등의 용매로 계통 분획하여 각각의 엑스를 제조하였다. 이들 분획물을 TLC 패턴 분석한 결과 10% H₂SO₄시액에 뚜렷한 발색을 나타낸 ethyl

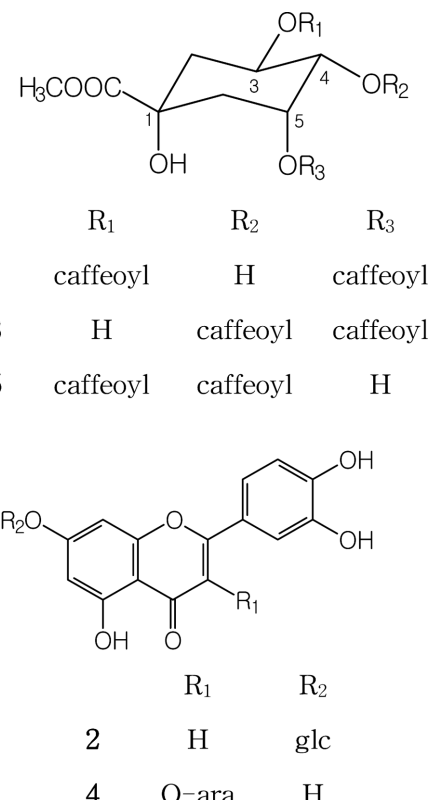


Fig. 1. Structures of compounds 1-5.

acetate 가용분획을 대상으로 몇 가지 column chromatography를 반복 실시하여 5종의 화합물을 단리하였다(Fig. 1).

화합물 1은 연한 황색의 분말로 얻어졌으며, FeCl_3 시액에 양성으로 나타났다. 화합물 1은 $^1\text{H-NMR}$ spectrum에서 두 쌍의 trans caffeoyl groups[δ 7.61/7.54(each 1H, d, $J=15.9$ Hz), 7.05/7.05(each 1H, d, $J=1.8$ Hz), 6.96/6.96(each 1H, d, $J=8.4$ Hz), 6.78/6.76(each 1H, dd, $J=8.4$, 1.8 Hz), 6.33/6.21(each 1H, d, $J=15.9$ Hz)]과 세 개의 oxygenated protons [δ 5.38 (1H, m), 5.30(1H, m), 3.97(1H, dd, $J=6.6$, 3.3 Hz)]이 존재함을 확인할 수 있었다. $^{13}\text{C-NMR}$ spectrum에서는 δ 36.7과 35.6에서 2개의 methylene carbon으로 추정되는 signal과 δ 74.6, 72.2, 72.0 및 69.7에서 4개의 oxygenated carbon이 관찰되었으며, 한 개의 carbonyl signal δ 175.6에서 확인되었다. ^1H - and $^{13}\text{C-NMR}$ spectrum에서 한 개의 methoxyl peak가 $\delta_{\text{H}} 3.69$ 와 $\delta_{\text{C}} 53.0$ 에서 각각 관찰되었다. 이상의 ^1H - and $^{13}\text{C-NMR}$ spectral data에서 화합물 1이 전형적인 dicaffeoyl quinic acid 유도체임을 추정할 수 있었다.¹⁹⁾ 2개의 caffeoyl group의 위치는 $^1\text{H-NMR}$ spectrum에서 H-3(δ 5.30)과 H-5(δ 5.38)의 proton과 $^{13}\text{C-NMR}$ spectrum에서 C-3(δ 72.2)과 C-5(δ 72.0)의 carbon chemical shift값이 downfield로 이동됨에 의해 추정할 수 있었다. 이상의 결과와 기존 문헌^{20,21)} 자료와 직접 비교해 본 결과 화합물 1은 methyl 3,5-di-O-caffeoylequineate로 확인·동정하였다.

화합물 2는 황색의 분말로 얻어졌으며, FeCl_3 시액에 양성으로 나타나 phenol group이 있음을 알 수 있었다. 화합물 2의 $^1\text{H-NMR}$ spectrum에서 δ 6.75(1H, s, H-3), 6.44(1H, d, $J=2.4$ Hz, H-6) 및 6.79(1H, $J=2.4$ Hz, H-8)에서 flavonoid 화합물인 luteolin의 A와 C-ring에 기인하는 3개의 peak가 관찰되었다. 또한 δ 6.89(1H, d, $J=8.0$ Hz, H-5'), 7.45(1H, d, $J=8.0$, 2.4 Hz, H-6') 및 7.42(1H, $J=2.4$ Hz, H-2')에서 B-ring에 기인하는 전형적인 1,3,4-trisubstituted aromatic signal이 확인되었다. 화합물 2의 $^{13}\text{C-NMR}$ spectrum에서는 flavonoid 화합물 중에서 특징적인 flavone carbonyl signal이 δ 181.9에서 확인되었다. D-glucose의 β -위는 $\delta_{\text{H}} 5.09$ (1H, d, H-1")의 anomeric proton의 coupling constant($J=7.2$ Hz)로 확인하였다. 이상의 결과와 기존 문헌²²⁾ 자료와 직접 비교해 본 결과 화합물 2는 luteolin-7-O- β -D-glucopyranoside로 확인·동정하였다.

화합물 3은 연한 황색의 무정형 분말로 얻어졌으며, FeCl_3 시액에 양성으로 나타났다. 화합물 3의 ^1H -과 $^{13}\text{C-NMR}$ spectrum은 화합물 1과 유사한 양상으로 관찰되었다. 화합물 3의 H-4(δ 5.11)와 H-5(δ 5.53)의 $^1\text{H-NMR}$ signal이 downfield에서 관찰되어 2개의 caffeoyl group이 quinic acid의 본 위치에 치환되어 있음을 추측할 수 있었다.²³⁾ 따라서 화합물 3의 구조는 methyl 4,5-di-O-caffeoylequineate로 추정하였으며, 기존의 논문에서 발표한 NMR spectral data와 잘 일치함을 확인하여 최종 확정하였다.¹⁹⁾

화합물 4는 황색의 분말로 얻어졌으며, FeCl_3 시액에 양성으로 폐놀성 화합물임을 알 수 있었으며, $^1\text{H-NMR}$ spectrum에서 aromatic 영역에서 δ 6.38(1H, d, $J=2.1$ Hz, H-8)과 6.19(1H, d, $J=2.1$ Hz, H-6)에서 2개의 meta-coupled doublet peak가 확인되고, δ 7.74(1H, d, $J=2.1$ Hz, H-2'), 7.56(1H, d, $J=8.8$, 2.1 Hz, H-6') 및 6.86(1H, d, $J=8.8$ Hz, H-5')에서 전형적인 1,3,4-trisubstituted aromatic signal이 확인되어 화합물 4는 aromatic A ring이 5,7-dihydroxyflavonoid인 quercetin화합물 유도체임을 추정할 수 있었다. 또한 당의 anomeric proton signal이 δ 5.15(1H, d, $J=7.2$ Hz, H-1")에서 관찰되고, coupling 값이 7.2 Hz로 β -D-configuration의 당이 결합되어 있음이 확인되었다. $^{13}\text{C-NMR}$ spectrum에서 C-4의 ketone이 δ 179.5에서 확인되어 화합물 4는 quercetin에 한 개의 당이 β -위로 결합되어 있는 화합물로 추정하였다. 이상의 결과와 기존 문헌²⁴⁾의 data를 비교하여 본 결과 화합물 4는 quercetin-3-O- β -D-arinopyranoside로 확인·동정하였다.

화합물 5는 연한 황색의 무정형 분말로 얻어졌으며, FeCl_3 시액에 양성으로 나타났다. 화합물 5의 ^1H -과 $^{13}\text{C-NMR}$ spectrum은 화합물 1과 유사한 양상으로 관찰되었다. 주요한 차이점은 NMR spectrum상에서 C-3과 C-4의 chemical shift값이 다르게 관찰되었다. H-3과 H-4의 $^1\text{H-NMR}$ signal

o) downfield로 shift되었으며 이는 quinic acid의 3, 4번 위치에 2개의 caffeoyl group^{o)} 결합되어 있음을 추정할 수 있었다.²³⁾ 따라서 화합물 5의 구조는 methyl 3,4-di-O-caffeoquinate로 추정하였으며, 기존의 논문에서 발표한 NMR spectral data와 잘 일치함을 확인하여 최종 확정하였다.¹⁹⁾

결 론

별날개골풀의 methanol추출물의 ethyl acetate 가용분획물에서 5종의 화합물을 단리하였으며, 이들의 spectral data를 이용하여 구조를 확인한 결과 methyl 3,5-di-O-caffeoquinate (1), luteolin-7-O-β-D-glucopyranoside (2), methyl 4,5-di-O-caffeoquinate (3), quercetin-3-O-β-D-arabinopyranoside (4), 및 methyl 3,4-di-O-caffeoquinate (5)으로 각각 확인 · 동정되었다. 이들 화합물은 본 식물로부터 처음 분리 · 보고되는 화합물이다.

사 사

이 논문은 우석대학교 산학협력선도대학(LINC)사업단의 지원에 의하여 연구되었으며, 이에 감사드립니다.

인용문헌

1. 이영노 (2006) 새로운 한국식물도감 II, 492, 교학사, 서울.
2. Park, S., Yang, S., Ahn, D., Yang, J. H. and Kim, D. K. (2011) Antioxidative phenolic compounds from the whole plant of *Juncus diastrophanthus*. *J. Korean Soc. Appl. Biol. Chem.* **54**: 685-692.
3. Dawidar, A. M., Abou-Elzahab, M. M., El-Fedawy, M. G. and Raghib, H. M. (2004) 9,10-Dihydrophenanthrene erivatives from *Juncus subulatus*. *J. Saudi Chem. Soc.* **8**: 275-278.
4. Mansour, R. M. A., Zahran, M. A. and Salah, N. A. M. (1986) Flavonoids and ecology of *Juncus acutus* and *Juncus rigidus* in Egypt. *Egypt. J. Bot.* **29/30**: 161-166.
5. Abdel-Razik, A. F., Elshamy, A. I., Nassar, M. I., El-Kousy, S. M. and Hamdy, H. (2009) Chemical constituents and hepatoprotective activity of *Juncus subulatus*. *Rev. Latinoamer. de Quim.* **37**: 70-84.
6. Dellagreca, M., Fiorentino, A., Isidori, M., Previtera, L., Tomussi, F. and Zarrelli, A. (2003) Benzocoumarins from the rhizomes of *Juncus acutus*. *Tetrahed.* **59**: 2317-2324.
7. Dong-Zhea, J., Zhi-Daa, M., Geroge, C. Y., Munekazu, I. and Tanaka, T. (1996) P-coumaroyl monoglycerides have been described in the medullae of *Juncus effusus*. *Phytochemistry* **41**: 545-547.
8. Howard, M., Naresh, V. and James, P. (1973) Constituents of marsh grass: Survey of the essential oils in *Juncus roemerianus*. *Phytochemistry* **12**: 1399-1404.
9. Shan, C. Y., Ye, Y. H., Jiang, H. F. and Zhang, J. (2008) Study on chemical constituents isolated from *Juncus effusus*. *J. Chin. Med. Mat.* **31**: 374-376.
10. Awaad, A. (2006) Phenolic glycosides of *Juncus acutus* and its antieczematic activity. *Chem. Nat. Prod.* **42**: 152-156.
11. Dellagreca, M., Fiorentino, A., Mangoni, A., Molinaro, A., Monaco, P. and Previtera, L. (1993) A bioactive dihydronaphthalenone from *Juncus effusus*. *Phytochemistry* **34**: 1182-1184.
12. Dellagreca, M., Previtera, L., Fiorentino, A., Monaco, P. and Zarrelli, A. (1995) Effusides I-V: 9,10-dihydrophenanthrene glucosides from *Juncus effusus*. *Phytochemistry* **40**: 533-535.
13. Dellagreca, M., Monaco, P., Previtera, L., Zarrelli, A. (1997) Minor bioactive dihydrophenanthrenes from *Juncus effusus*. *J. Nat. Prod.* **60**: 1265-1268.
14. Dellagreca, M., Fiorentino, A., Monaco, P., Previtera, L. and Zarrelli, A. (2002) Phenanthrenoids from the wetland *Juncus acutus*. *Phytochemistry* **60**: 633-638.
15. Kovacs, A., Vasas, A. and Hohmann, J. (2008) Natural phenanthrenes and their biological activity. *Phytochemistry* **69**: 1084-1110.
16. Chapatwala, K. D., DeLa Cruz, A. A. and Miles, H. (1981) Antimicrobial activity of Juncusol, a novel 9,10-dihydrophenanthrene from the marsh plant *Juncus roemerianus*. *Life Sci.* **29**: 1997-2001.
17. Dellagreca, M., Fiorentino, A., Monaco, P., Previtera, L. and Sorrentino, M. (1998) Antialgal Phenylpropane Glycerides from *Juncus effusus*. *Nat. Prod. Res.* **12**: 263-270.
18. Fathi, A. A., Zain-Elabdin, M. N., Galal, T. M., Mohamed, M. A., Zhi-Hong, W., Jyh-Horng, S. and Attalla, F. A. (2007) Phenanthrenoids from *Juncus acutus* L., new natural lipopolysaccharide-inducible nitric oxide synthase inhibitors. *Chem. Pharm. Bull.* **55**: 1264-1266.
19. Basnet, P., Matsushige, K., Hase, K., Kadota, S. and Namba, T. (1996) Four di-O-caffeoquinic acid derivatives from propolis. Potent hepatoprotective acitivity in experimental liver injury models. *Biol. Pharm. Bull.* **19**: 1479-1484.
20. Lin, L.-C., Kuo, Y.-C. and Chou, C.-J. (1999) Immuno-modulatory proniciples of *Dichrocephala bicolor*. *J. Nat. Prod.* **62**: 405-408.
21. Choi, S. Z., Choi, S. U. and Lee, K. R. (2004) Phytochemical constituents of the aerial parts from *Solidago virga-aurea* var. *gigantea*. *Arch. Pharm. Res.* **27**: 164-168.
22. Na, M. K., Huong, H. T., An, R. B., Lee, S. M., Kim, Y. H., Lee, J. P., Seong, R. S., Lee, K. S. and Bae, K. H. (2000) Quality evaluation of *Lonicera Flos*. *Kor. J. Pharmacogn.* **31**: 340-344.
23. Iwashashi, H., Morishita, H., Osaka, N. and Kido, R. (1985) 3-O-Feruloyl-4-O-caffeoypuinic acid from Coffee beans. *Phytochemistry* **24**: 630-632.
24. Pachaly, P. and Klein M. (1987) Inhaltsstoffe von *Andromeda polifolia*. *Planta Med.* **53**: 442-444.

(2013. 12. 7 접수; 2013. 12. 13 심사; 2013. 12. 16 게재확정)